

©1995

**АНОМАЛИИ МОДУЛЯ ЮНГА, ВНУТРЕННЕГО ТРЕНИЯ
И ТЕПЛОВОГО РАСШИРЕНИЯ В ОБЛАСТИ
СПИН-ПЕРЕОРИЕНТАЦИОННОГО ФАЗОВОГО ПЕРЕХОДА
В СОЕДИНЕНИИ $TbFe_{11}Ti$.**

В.Ю.Бодряков, С.А.Никитин, Т.И.Иванова, И.С.Терешина

Московский государственный университет им. М.В. Ломоносова
Поступила в Редакцию 13 июля 1994 г.

Впервые методом попоперечных изгибных автоколебаний образца-тонкого стержня на частотах ~ 1.5 kHz в интервале температур 100–430 K проведено детальное исследование температурных зависимостей модуля Юнга E и внутреннего трения Q^{-1} поликристаллического образца сплава $TbFe_{11}Ti$, а также тензометрическим методом на монокристаллическом образце изучены особенности теплового расширения $\Delta L/L$. Обнаружено аномальное поведение кривых $E(T)$, $Q^{-1}(T)$, $\Delta L/L(T)$ при температурах 240 и 375–380 K, а также кривой $\Delta L/L$ при $T = 325$ K, связанное с особенностями поведения магнитной структуры материала при этих температурах. Аномально большой термический гистерезис кривых $E(T)$, $Q^{-1}(T)$, $\Delta L/L(T)$ свидетельствует о наличии широкой области метастабильных состояний, сопровождающих перестройку магнитной структуры $TbFe_{11}Ti$.

Работа посвящена исследованию температурных зависимостей упругих (модуль Юнга E и тепловое расширение) и неупругих (внутреннее трение Q^{-1}) свойств интерметаллического соединения $TbFe_{11}Ti$ с целью изучения особенностей спин-переориентированного перехода в этом соединении. Соединение интересно не только с физической (наличие состояний с различным типом магнитного упорядочения и переходов между ними), но и с практической (возможно применение соединения в качестве материала для приготовления постоянных магнитов) точки зрения. Исследованию спин-переориентационного перехода этого соединения посвящен целый ряд работ [1–4], однако данные о температуре T_{SR} и характере этого перехода крайне противоречивы. В работе [1] установлено, что возможно имеются две особенности в поведении констант анизотропии $TbFe_{11}Ti$ при температурах $T_{s1} = 220$ K и $T_{s2} = 450$ K. Однако в работах [2, 3], в которых проводились измерения магнитной восприимчивости на ориентированных порошковых образцах соединения $TbFe_{11}Ti$, наблюдался только один фазовый переход со скачкообразным характером изменения ориентации вектора магнитного момента от легкой оси к плоскости осей легкого намагничивания при температуре $T_{s3} = 325$ K. Температура пе-

рехода определялась в [2,3] по характерной аномалии на кривой температурной зависимости магнитной восприимчивости. В работе [4], где проводились измерения намагниченности и магнитной восприимчивости на монокристалле $TbFe_{11}Ti$ обнаружена сильная зависимость T_{SR} от величины внешнего магнитного поля. Анализ литературных данных показывает, что необходимо проведение дополнительных исследований физических свойств соединений разными методами. При этом особое внимание следует обратить на исследования соединений $TbFe_{11}Ti$ в нулевом магнитном поле. В частности, до сих пор совершенено не изучены упругие свойства и релаксационные явления в области спин-переориентационных переходов соединения. В настоящей работе проведено исследование температурного поведения модуля Юнга E и внутреннего трения Q^{-1} на поликристаллических образцах $TbFe_{11}Ti$, а также теплового расширения на образце, который представлял собой сросток монокристаллических зерен с разориентированной кристаллографическими осьми в пределах 10° .

1. Технология приготовления образцов и методика измерений.

Образцы соединения $TbFe_{11}Ti$ были выплавлены в аргоно-дуговой печи на водоохлаждаемом медном полу. Фазовый анализ полученных слитков сплава $TbFe_{11}Ti$ проводился на дифрактометре ДРОН-3М с использованием K_α -излучения меди. Было установлено, что полученные слитки практически однофазны и имеют структуру типа $ThMn_{12}$. Было обнаружено лишь небольшое количество примесной фазы α -Fe ($\sim 5\%$). Из слитков были выделены относительно хорошо сформированные монокристаллы. Контроль и отбор образцов для измерений проводился по рентгенограммам Лауэ, полученным практически со всей поверхности образца.

Для измерений теплового расширения был взят образец, имеющий разориентировку монокристаллических блоков в пределах десяти градусов. Образец имел форму диска диаметром 3.5 ± 0.05 mm и толщиной 0.8 ± 0.05 mm. Кристаллографическая ориентировка образца выявила расположение в плоскости диска направлений [001] и [110]. Измерение теплового расширения проводилось тензометрическим методом. Методика измерений была описана ранее в [5]. Направление измерения теплового расширения совпало с преимущественным направлением кристаллографической оси с кристалла. Образец предварительно охлаждался до температуры 80 K. Далее производился нагрев образца, причем скорость изменения температуры не превышала 1 K/min. Измерения проводились в интервале температур 80–400 K.

Температурные зависимости модуля Юнга $E(T)$ и внутреннего трения $Q^{-1}(T)$ поликристаллического образца сплава $TbFe_{11}Ti$ измерялись в интервале температур 100–430 K методом поперечных изгибных автоколебаний образца-тонкого стержня, возбуждаемых электростатическим образом на частотах $f \sim 1.4$ – 1.5 kHz и поддерживаемых с помощью цепи обратной связи [6]. Размеры консольно закрепленного образца, приготовленного из первоначального слитка $TbFe_{11}Ti$ электроискровым способом, составляли: длина $l = 11.7 \pm 0.05$ mm, толщина $h = 0.25 \pm 0.005$ mm, ширина $a = 0.8 \pm 0.05$ mm. Частота колебаний образца при $T = 300$ K была равной $f = 1.4408$ (при охлаждении) и

1.4279 kHz (при нагревании образца). Абсолютная точность измерения модуля Юнга определялась в основном точностью измерения геометрических размеров образца и составляла $\pm 5.7\%$; точность определения величины относительного изменения модуля была на два порядка выше. Величина модуля Юнга исследованного образца соединения TbFe₁₁Ti при $T = 300$ K составляла $E_{300} = 381.2 \pm 21.8$ (при охлаждении) и 374.4 ± 21.4 GPa (при нагревании образца). Внутреннее трение Q^{-1} , измерявшееся одновременно с модулем Юнга, определялось по числу затухающих колебаний образца между двумя определенными уровнями амплитуды колебаний после прерывания цепи обратной связи. Погрешность определения величины Q^{-1} определялась разбросом экспериментальных точек в серии из четырех последовательных отсчетов при каждом значении температуры и достигала нескольких процентов. До начала измерений величин модуля Юнга и внутреннего трения образец вначале сравнительно быстро (со скоростью ~ 3 K/min) нагревался до 424 K, потом в процессе измерений медленно охлаждался до 100 K, а затем вновь также медленно нагревался до 428 K. Кроме того, дополнительные измерения E и Q^{-1} проводились при медленном нагреве и последующем охлаждении образца в интервале температур 280–430 K. Средняя скорость изменения температуры составляла ~ 1 K/min, но не превышала 1.5 K/min. Температура контролировалась термопарой медь-константан с абсолютной точностью ± 0.5 K.

2. Результаты измерений и обсуждение.

Кривая температурной зависимости $\Delta L/L$ для монокристалла TbFe₁₁Ti представлена на рис. 1 в интервале температур 80–400 K. Во всем исследованном интервале температур $\Delta L/L$ монотонно возрастает с увеличением температуры. Монотонный ход кривой теплового расширения нарушается при $T > 300$ K, где наклон кривой претерпевает значительные изменения, зависимость $\Delta L/L$ при этом сопровождается значительным температурным гистерезисом. Следует отметить также хорошо выраженное изменение наклона кривой теплового расширения при $T = 140$ K и слабо выраженный излом при $T = 250$ K. Описанным особенностям кривой $\Delta L/L$ соответствуют хорошо выраженные особенности на кривой температурной зависимости линейного коэффициента теплового расширения этого же образца TbFe₁₁Ti $\alpha(T)$ для случая нагрева образца (вставка к рис. 1). Кривая $\alpha(T)$ была получена численным дифференцированием кривой $\Delta L/L$.

Температурные зависимости модуля Юнга E и внутреннего трения Q^{-1} поликристаллического образца соединения TbFe₁₁Ti в интервале температур 100–430 K при нагреве и охлаждении представлены на рис. 2. Кривая температурной зависимости $E(T)$ демонстрирует ряд хорошо выраженных особенностей. На фоне обычного уменьшения модуля Юнга с температурой наблюдаются минимумы при температурах $T = 370$ (в случае охлаждения образца) и 374 K (в случае его нагрева). Кроме того, обнаружены перегибы на кривой $E(T)$ при температурах 330–290 K при охлаждении и 240–280 K при нагреве образца. Температурная зависимость модуля Юнга сопровождается значительным гистерезисом, полностью исчезающим ниже 240 K. Температурная зависимость модуля Юнга TbFe₁₁Ti анализировалась

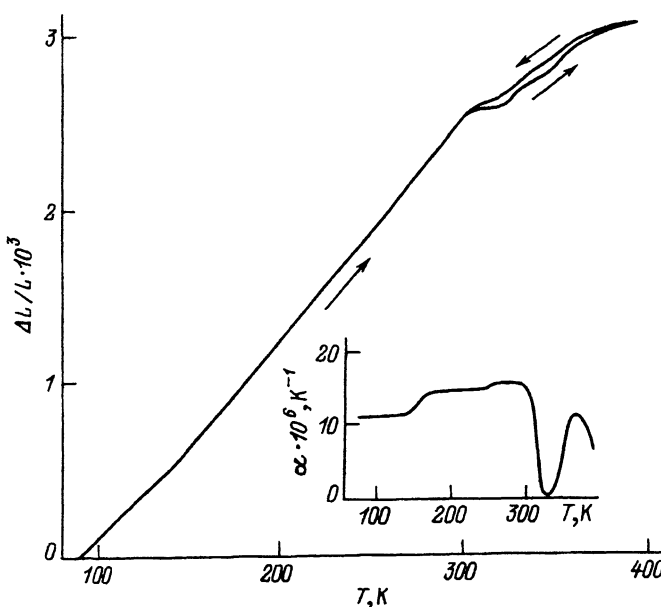


Рис. 1. Температурная зависимость теплового расширения $\Delta L/L$ монокристаллического образца $TbFe_{11}Ti$.

На вставке — температурная зависимость линейного коэффициента теплового расширения α монокристаллического образца $TbFe_{11}Ti$.

в рамках феноменологической модели твердого тела как квантового ансамбля ангармонических осцилляторов [7]. В результате проведенных расчетов, методика которых была описана ранее [8], найдено, что в интервале температур 100–200 К температурная зависимость модуля Юнга хорошо описывается теоретической расчетной кривой $E_{\text{calc}}(T)$ с характеристической температурой Дебая $\Theta_D = 151$ К. Экстраполированное к $T = 0$ значение модуля Юнга равно $E_0 = 406.72 \pm 0.05$ ГПа. На температурной зависимости внутреннего трения $Q^{-1}(T)$ образца $TbFe_{11}Ti$ также наблюдается ряд хорошо выраженных аномалий, коррелирующих с особенностями кривой $E(T)$. Это острые максимумы внутреннего трения при $T = 378$ (в случае охлаждения образца) и 374 К (в случае его нагрева), а также широкие пологие максимумы при температуре ~ 235 К. Кроме того, зависимость $Q^{-1}(T)$ сопровождается значительным температурным гистерезисом, исчезающим ниже 150 К. Температурная зависимость внутреннего трения в интервале температур 350–400 К представлена на вставке к рис. 2, которая дает детальное представление о поведении внутреннего трения в области максимумов.

Зависимость $Q^{-1}(T)$ в области максимумов при $T \approx 240$ К представлена на рис. 3, *a* в случае охлаждения и на рис. 3, *b* в случае нагрева образца. Точками на рис. 3, *a,b* представлены средние по четырем измерениям значения внутреннего трения для каждой температуры. Сплошными линиями представлены расчетные кривые $Q_{\text{calc}}^{-1}(T)$, построенные по результатам компьютерных расчетов, описанных далее. Характер столь широких и пологих максимумов внутреннего трения указывает на их вероятное релаксационное происхождение [9,10].

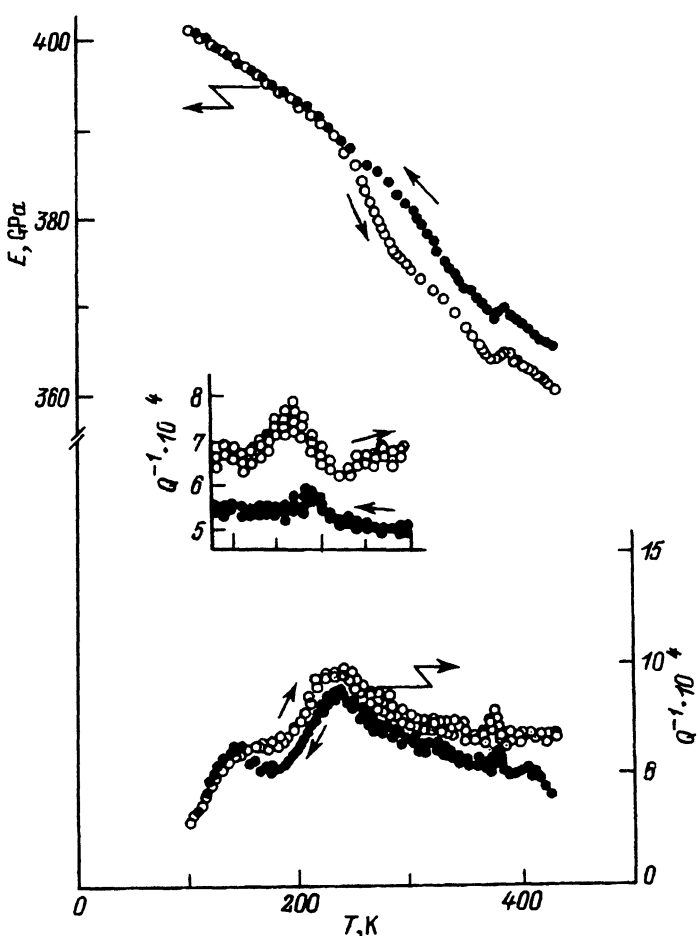


Рис. 2. Температурные зависимости модуля Юнга E и внутреннего трения Q^{-1} поликристаллического образца сплава $TbFe_{11}Ti$.

На вставке — температурная зависимость внутреннего трения Q^{-1} поликристаллического образца сплава $TbFe_{11}Ti$ в интервале температур 355–400 К.

Для проверки такого предположения и определения природы возможных механизмов релаксации, ответственных за появление описанных максимумов Q^{-1} , были проведены теоретические расчеты.

Если релаксационный процесс характеризуется энергией активации релаксации E_a и характерным временем релаксации τ_0 , то соответствующая этому релаксационному процессу кривая температурной зависимости внутреннего трения может быть описана выражением [9,10]

$$Q_{\text{calc}}^{-1}(T) = Q_0^{-1} + 2Q_{\text{max}}^{-1} \frac{2\pi f \tau}{1 + (2\pi f \tau)^2}, \quad (1)$$

где Q^{-1} — фоновая величина внутреннего трения, которая предполагается не зависящей от температуры, что удовлетворительно выполняется при температурах ниже или не слишком выше комнатной; Q_{max}^{-1} — максимальная (над фоном) величина внутреннего тре-

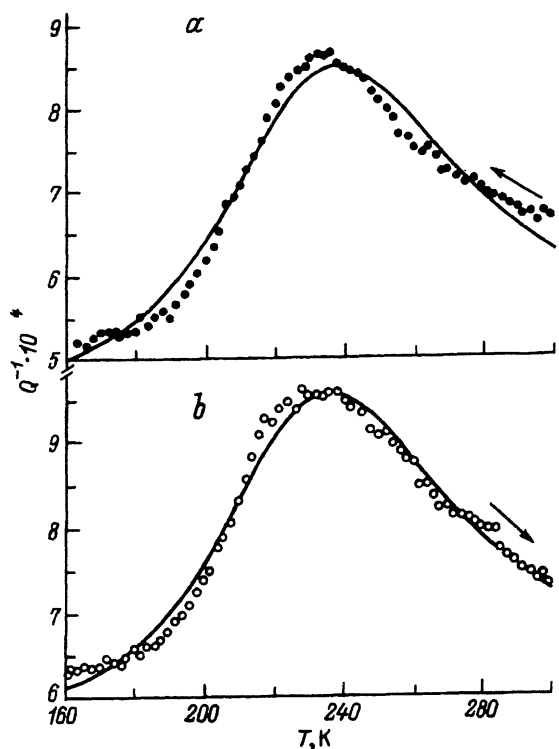


Рис. 3. Температурная зависимость внутреннего трения Q^{-1} поликристаллического образца сплава TbFe₁₁Ti в интервале температур 160–300 К в случае уменьшения (a) и увеличения (b) температуры.

Сплошные линии — теоретический расчет.

ния: $f = f(T)$ — измеряемая частота колебаний образца; и наконец $\tau = \tau(T)$ — время релаксации, которое может быть найдено из уравнения Аррениуса

$$\tau(T) = \tau_0 \exp(E_a/k_B T). \quad (2)$$

Очевидно, максимум внутреннего трения достигается при условии $2\pi f\tau = 1$. Такой релаксационный процесс должен также сопровождаться характерным перегибом кривой $E(T)$ [9], что и наблюдалось экспериментально (рис. 2). Варьируя в качестве независимых параметров E_a и τ_0 и добиваясь наилучшего совпадения (наименьшей среднеквадратичной ошибки) экспериментальной и теоретической (1) кривых $Q(T)$, можно определить величины Q_0^{-1} , Q_{\max}^{-1} , E_a и τ_0 . Эти параметры, вычисленные указанным способом, приведены в таблице, а соответствующие расчетные кривые $Q_{\text{calc}}^{-1}(T)$ представлены сплошными линиями в случае уменьшения (рис. 3, a) и в случае увеличения температуры образца (рис. 3, b). Видно вполне удовлетворительное согласие теоретических и экспериментальных данных, особенно в случае нагрева образца (рис. 3, b). Таким образом, можно считать, что максимумы внутреннего трения при температуре $T \approx 240$ К связаны с релаксационным процессом с энергией активации $E_a \approx 0.16$ eV и характерным временем релаксации $\tau_0 \cong 10^{-4}$ с. Столь низкое значение энергии активации и, наоборот, очень большое характерное время релаксации не позволяют связать обнаруженный релаксационный процесс с традиционными для металлов релаксационными механизмами внутреннего трения [9, 10]: термоактивированной миграцией дислокаций.

Расчетные характеристики релаксационных максимумов
внутреннего трения при температуре $T \approx 240$ К
поликристаллического образца сплава $\text{TbFe}_{11}\text{Ti}$.

Параметр	Температура уменьшается	Температура увеличивается
ΔT , К	300–166	160–300
N	69	71
$Q_0^{-1} \cdot 10^4$	4.85 ± 0.20	5.94 ± 0.15
$Q_{\max}^{-1} \cdot 10^4$	3.61 ± 0.08	3.61 ± 0.06
T_m , К	238 ± 1	236 ± 1
E_a , еВ	0.16 ± 0.02	0.16 ± 0.02
τ_0 , с	$10^{-(4.35 \pm 0.42)}$	$10^{-(4.37 \pm 0.43)}$

П р и м е ч а н и е. ΔT — температурный интервал, на котором производились расчеты; N — число экспериментальных точек в температурном интервале ΔT ; Q_0^{-1} — фоновая величина внутреннего трения; Q_{\max}^{-1} — максимальная (над Фоном) величина внутреннего трения; T_m — расчетная температура максимума внутреннего трения; E_a — энергия активации релаксационного процесса; τ_0 — характерное время релаксации.

ций (в частности, типа примесных атомов внедрения, например, газообразующих О, С, N) или с релаксацией внутренних напряжений в материале. Можно предположить, что обнаруженный релаксационный процесс связан с перестройкой магнитной структуры $\text{TbFe}_{11}\text{Ti}$, индуцированной волной сжатия–растяжения, возникающей в колеблющемся образце, с температурой термоактивации $T_m \approx 240$ К. Близость измеряемой частоты колебаний образца f и обратного характерного времени релаксации τ_0^{-1} подтверждает возможность такой интерпретации.

Значительный температурный гистерезис, наблюдавшийся при температурах $T \geq 240$ К (по данным измерений модуля Юнга) или при $T \geq 150$ К (по данным измерений внутреннего трения), свидетельствует о наличии весьма широкой области метастабильности состояний магнитной структуры сплава $\text{TbFe}_{11}\text{Ti}$, вероятно, связанных со сложной доменной структурой материала.

Таким образом, проведенные исследования температурных зависимостей модуля Юнга E , внутреннего трения Q^{-1} и теплового расширения $\Delta L/L$ в области температур спин-переориентационного перехода 240–370 К в соединении $\text{TbFe}_{11}\text{Ti}$ обнаружили наличие характерных аномалий на этих кривых. Эти аномалии свидетельствуют о сложном характере процесса спиновой переориентации от плоскости легкого намагничивания к оси легкого намагничивания в температурном интервале 240–370 К, что, по-видимому, определяется сложным устройством доменной структуры образца и сильной зависимостью характера перехода от первоначального магнитного состояния материала. Температурный гистерезис упругих свойств, а также широкий максимум внутреннего трения и характер релаксационных процессов в области спин-переориентационного перехода позволяют сделать вывод о наличии широкой области метастабильных состояний, сопровождающих перестройку магнитной структуры $\text{TbFe}_{11}\text{Ti}$.

Исследования поддержаны грантами Российского фонда фундаментальных исследований и Международного научного фонда (Дж. Сороса).

Список литературы

- [1] Hu Bo-Ping, Li Hong-Shuo, Gavigan J.P., Coey J.M.D. // *J. Phys. C.: Condens. Matter.* 1989. V. 1. N 4. P. 755–770.
- [2] Botlitch E.B., Mo B.M., Zhang L.Y., Paurarian F., Malik S.K., Sankar S.J., Wallace W.E. // *J. Magn. Magn. Mater.* 1989. V. 78. N 3. P. 364–370.
- [3] Zhang L.Y., Botlitch E.B., Sinha V.K., Wallace W.E. // *IEEE Trans. Magn.* 1989. V. 25. N 5. P. 3303–3305.
- [4] Andreev A.V., Kudrevatykh N.V., Razgonyaev S.M., Tarasov E.N. // *Physica B.* 1993. V. 183. N 3. P. 379–384.
- [5] Шубин В.В. Автореф. канд. дис. М.: МГУ, 1986. 18 с.
- [6] Катаев Г.И., Шубин В.В. // *Физическая электроника и вопросы электромагнетизма.* Новгород: НПИ, 1985. С. 70–78; Деп. ВИНИТИ рег. № 3990-85.
- [7] Lakkad S.C. // *J. Appl. Phys.* 1971. V. 42. N 11. P. 4277–4281.
- [8] Никитин С.А., Годовиков С.К., Бодряков В.Ю., Авенариус И.А. // *Изв. РАН. Сер. физ.* 1994. Т. 58. № 4. С. 15–19.
- [9] Зинер К. // *Упругость и неупругость металлов / Под ред. С.В. Вонсовского.* М.: Иностр. лит., 1954. 396 с.
- [10] Постников В.С. *Внутреннее трение в металлах.* М.: Металлургия, 1969. 332 с.